20340406 ООЛ ФРЕМЬ В В В СТИЯ АКАДЕМИИ НАУК АРМЯНСКОЙ ССР

Зра,-мир., рб. 6 шбрб. аршир. 1X, № 3, 1956 Фил.-мат., естеств. и техн. наука

Л. К. Капанян

Об изгибе некоторых полых консольных стержней

§ 1. Решение задачи об изгибе с помощью аналитической функции

Рассмотрим изгиб консольного призматического стержня силой Р, приложенной к концу консоли и совпадающей по направлению с одной из главных центральных осей поперечного сечения.*

Решение задачи сводится к определению функции напряжений Ф(х,у) из дифференциального уравнения вида:

$$\frac{\partial^{2} \Phi}{\partial x^{2}} + \frac{\partial^{2} \Phi}{\partial y^{2}} = \frac{\sigma}{1 + \sigma} \frac{P}{I} y - \frac{df}{dy}. \tag{1}$$

где о-коэффициент Пуассона,

I — момент инерции сечения относительно нейтральной оси ОУ,
 f(y) — произвольная функция координаты у.

Функция напряжений на контуре должна удовлетворять условию: р

$$\frac{\partial \Phi}{\partial s} = \left[\frac{Px^2}{2I} - f(y) \right] \frac{dy}{ds}.$$
 (2)

Компоненты касательных напряжений по осям координат будут

$$X_x = \frac{\partial \Phi}{\partial y} - \frac{Px^2}{2I} + f(y),$$
 (3)

$$Y_x = -\frac{\partial \Phi}{\partial x}$$
 (4)

В целях упрощення (2) в последующем ходе решения задачи примем:

$$f(y) = -\frac{py^2}{2!}$$
 (5)

Подставив (5) в (1), получим

$$\frac{\partial^2 \Phi}{\partial x^2} + \frac{\partial^2 \Phi}{\partial y^2} = \frac{Py}{l} \frac{1 + 2\sigma}{1 + \sigma}$$
 (6)

Введем обозначения:

$$\frac{1+2\sigma}{1+\sigma} = C; \frac{P}{1} = B.$$
 (7)

Тогда (6) примет вид

$$\frac{\partial^2 \Phi}{\partial x^2} + \frac{\partial^2 \Phi}{\partial y^2} = BCy.$$
 (8)

Известия 1Х, № 3-3

^{*} Статья была сдана в печать, когда нам стало известно о работе Ю. А. Амензаде [1], в которой приведено решение этой же задачи методом, предложенным Д. И. Шерманом.

Решение (8) может быть представлено через комплексные переменные в виде

$$\Phi = -\frac{CB}{48i}(z - \overline{z})^3 + \varphi_1(z) + \overline{\varphi}_1(\overline{z}), \qquad (9)$$

где $\frac{CB}{48i}(z-\overline{z})^3$ — частное решение, а $[\varphi_i(z)+\overline{\varphi_i(z)}]$ — гармоническая

функция, являющаяся общим решением (8) без правой части.

Исследуем функцию $\varphi_1(z)$ с точки зрения многозначности. Предположим, что $\varphi_1(z)$ содержит в себе логарифмический член, т.е. в случае двусвязной области может оказаться многозначной. Допустим, что:

$$\varphi_1(z) = \varphi^*(z) + A, \ln z,$$
 (10)

где $\phi^*(z)$ — однозначная функция.

Для определения величины A₁ используем теорему о циркуляции касательного напряжения при изгибе [2]. Теорема эта выражается следующей формулой:

$$\int_{I} T_{\mu} ds = \left[2\mu \tau - \frac{P \sigma y_{h}}{(1 + \sigma)I} \right] \Omega, \tag{11}$$

где интеграл взят по любому замкнутому контуру L,

2 — площадь внутри рассматриваемого контура,

у_о — ордината центра тяжести площади Q.

Так как в рассматриваемом случае изгиб не сопровождается кручением, то $\tau = 0$, кроме того, начало координат совпадает с центром тяжести сечения, значит и $y_0 = 0$, тогда из (11) следует

$$\int T_{n}ds = 0. \tag{12}$$

Из другого соотношения, приведенного также в [2], имеем:

$$\int_{t} T_{s} ds = -\int_{t} \frac{\partial \Phi}{\partial n} ds - \int_{t} \int_{t} f'(y) dx dy.$$
 (13)

Учитывая, что

получим:

$$f'(y) = -\frac{P}{I}y,$$

$$\iint f'(y) dx dy = -\frac{P}{I} \iint y dx dy = 0.$$
 (14)

Имея в виду (12) и (14), перепишем (13) в виде

$$\int_{0}^{\infty} \frac{\partial \Phi}{\partial \mathbf{n}} \, \mathrm{d}\mathbf{s} = 0. \tag{15}$$

В случае двусвязной области соотношение (15) должно иметь место как на внутреннем, так и на внешнем контурах сечения.

Далее, умножим обе части уравнения (2) на—ids, после чего проинтегрируем его по всему контуру сечения и сложим полученное выражение с (15); в результате имеем:

$$\int_{\mathbf{L}} \left(\frac{\partial \Phi}{\partial \mathbf{n}} - i \frac{\partial \Phi}{\partial \mathbf{s}} \right) d\mathbf{s} = - \frac{P}{2I} i \int_{\mathbf{L}} (\mathbf{x}^{\sharp} + \mathbf{y}^{\sharp}) d\mathbf{y}. \tag{16}$$

Применяя формулу Грина, преобразуем правую часть (16), после чего получим:

$$\int (x^2 + y^2) dy = \int \int 2x dx dy = 2x_6 \, \Omega.$$

Но в рассматриваемом случае центр тяжести совпадает с началом координат, значит $x_0 = 0$ и

$$\int_{1} (x^{2} + y^{2}) dy = 0. \tag{17}$$

Левую часть (16) приведем к комплексному виду. Учитывая, что

$$\frac{\partial \Phi}{\partial x} = \frac{\partial \Phi}{\partial z} \frac{dz}{dx} + \frac{\partial \Phi}{\partial \overline{z}} \frac{d\overline{z}}{dx} = \frac{\partial \Phi}{\partial z} + \frac{\partial \Phi}{\partial \overline{z}},$$

$$\frac{\partial \Phi}{\partial y} = i \left(\frac{\partial \Phi}{\partial z} - \frac{\partial \Phi}{\partial \overline{z}} \right),$$
(18)

после некоторых преобразований в левой части (16) получим:

$$\int_{L} \left(\frac{\partial \Phi}{\partial \mathbf{n}} - i \frac{\partial \Phi}{\partial \mathbf{s}} \right) d\mathbf{s} = -2i \int_{L} \frac{\partial \Phi}{\partial \mathbf{z}} d\mathbf{z}. \tag{19}$$

Подстановка (19) и (17) в (16) длет

$$\int_{1}^{\bullet} \frac{\partial \Phi}{\partial z} \, dz = 0. \tag{20}$$

Введя в (20) выражение функции напряжений (9) в виде

$$\Phi = -\frac{CB}{48i}(z-\overline{z})^3 + \varphi_1^*(z) + A_1 \ln z + \overline{\varphi_1}^*(\overline{z}) + \overline{A}_1 \ln \overline{z},$$

получим $\int \frac{A_1}{z} dz = 0$ или $2\pi i A_1 = 0$, откуда следует, что $A_1 = 0$, зна-

чит и $A_1=0$. Следовательно, функция $\varphi_1(z)$ есть однозначная функция. Контурное условие нашей задачи приведем к комплексному виду.

Учитывая, что
$$\frac{\partial \Phi}{\partial s} = \frac{\partial \Phi}{\partial z} \frac{dz}{ds} + \frac{\partial \Phi}{\partial z} \frac{dz}{ds}$$
, $x^2 + y^2 = z\overline{z}$ и $dy = \frac{dz - d\overline{z}}{2i}$, из (2) получим

$$\frac{\partial \Phi}{\partial z} + \frac{\partial \Phi}{\partial \overline{z}} \frac{d\overline{z}}{dz} = \frac{B}{4i} z\overline{z} \left(1 - \frac{d\overline{z}}{dz} \right). \tag{21}$$

Касательные напряжения также выразим в функции комплексного переменного. Введя (5) в (3), имеем

$$X_z = \frac{\partial \Phi}{\partial y} - \frac{P x^2}{21} - \frac{P y^2}{21}. \qquad (22)$$

Умножим (4) на - і и сложим с (22), тогда получим

$$X_z - iY_z = \frac{\partial \Phi}{\partial y} + i \frac{\partial \Phi}{\partial x} - \frac{P}{2I} (x^2 + y^2)$$

или, имея в виду (18), перепншем это выражение в виде

$$X_z - iY_z = 2i \frac{\partial \Phi}{\partial z} - \frac{P}{2l} z \overline{z}$$
 (23)

Таким образом, решение задачи об изгибе полого консольного стержня сводится к определению функции напряжений Φ или в силу (9)—аналитической функции $\varphi_i(z)$, при помощи контурных условий задачи.

§ 2. Решение задачи об изгибе призматического консольного стержня круглого сечения с квадратным вырезом

Для определения функции $\phi_1(z)$ применим метод конформного отображения.

Пусть функция $z = \omega(\zeta)$ отображает область поперечного сечения рассматриваемого стержня на круговое кольцо. Тогда $\varphi_1(z)$ примет вид $\varphi_1(z) = \varphi_1[\omega(\zeta)] = \varphi(\zeta)$. Функция $\varphi(\zeta)$ голоморфна в области кольца и поэтому разлагается в ряд

$$\varphi(\zeta) = \sum_{k=0}^{\infty} a_k \zeta^k + \sum_{k=1}^{\infty} b_k \zeta^{-k}. \qquad (24)$$

После подстановки в (9) выражений $z = \omega(\zeta)$ и $\phi_1(z) = \phi(\zeta)$, функция напряжений примет вид

$$\Phi = -\frac{CB}{48i} \left[\omega(\zeta) - \overline{\omega}(\overline{\zeta})\right]^3 + \varphi(\zeta) + \overline{\varphi}(\overline{\zeta}). \tag{25}$$

В контурное условие (21) тоже введем функцию $z = \omega(\zeta)$. Вычислив предварительно величины, входящие в (21), получим:

$$\frac{\partial \Phi}{\partial z} = -\frac{CB}{16i} \left[\omega(\zeta) - \overline{\omega}(\overline{\zeta}) \right]^2 + \frac{\varphi'(\zeta)}{\omega'(\zeta)}$$

$$\frac{\partial \Phi}{\partial \overline{z}} = \frac{CB}{16i} \left[\omega(\zeta) - \overline{\omega}(\overline{\zeta}) \right]^2 + \frac{\overline{\varphi'}(\overline{\zeta})}{\overline{\omega'}(\overline{\zeta})}$$
(26)

$$\frac{d\overline{z}}{dz} = -\frac{\rho^2}{\zeta^2} \frac{\overline{\omega'(\zeta)}}{\omega'(\zeta)}.$$
(27)

Введя (26) и (27) в (21), условие на контуре перепишем в виде

$$-\frac{CB}{16i} \left[\omega(\zeta) - \overline{\omega}(\overline{\zeta})\right]^{2} + \frac{\varphi'(\zeta)}{\omega'(\zeta)} - \frac{\rho^{2}}{\overline{\zeta}^{2}} \frac{\overline{\omega}'(\overline{\zeta})}{\omega'(\zeta)} \left\{ \frac{CB}{16i} \left[\omega(\zeta) - \overline{\omega}(\zeta)\right]^{2} + \frac{\overline{\varphi'}(\overline{\zeta})}{\overline{\omega'}(\overline{\zeta})} \right\} = \frac{B}{4i} \omega(\zeta) \,\overline{\omega}(\overline{\zeta}) \left[1 + \frac{\rho^{2}}{\zeta^{2}} \frac{\overline{\omega'}(\overline{\zeta})}{\omega'(\overline{\zeta})} \right].$$

После некоторых преобразований окончательно имеем:

$$-\frac{B}{16i} [\zeta^2 \omega' (\zeta) + \rho^2 \overline{\omega}' (\overline{\zeta})] \{C[\omega(\zeta) - \overline{\omega} (\overline{\zeta})]^2 + + 4\omega(\zeta) \overline{\omega}(\overline{\zeta})\} = \overline{\varphi}' (\overline{\zeta}) \rho^2 - \varphi' (\zeta) \zeta^2.$$
(28)

Для рассматриваемой двусвязной области условие (28) должно быть удовлетворено на ее внешнем и внутреннем контурах.

Подставив в (28) $\zeta = t_0 = \rho_0 e^{i\theta}$, где ρ_0 — радиус внешнего контура кольца, получим условие на внешнем контуре

$$-\frac{B}{16i} [t_0^2 \omega'(t_0) + \rho_0^2 \overline{\omega}'(\overline{t_0})] (C[\omega(t_0) - \overline{\omega}(t_0)]^2 + + 4\omega(t_0)\overline{\omega}(\overline{t_0})] = \rho_0^2 \overline{\varphi}'(\overline{t_0}) - t_0^2 \varphi'(t_0),$$
(29)

а при $\zeta = t_1 = \rho_1 e^{i\theta}$, где ρ_1 — внутренний радиус кольца, из (28) имеем условие на внутреннем контуре:

$$-\frac{B}{16i} \left[t_1^2 \omega'(t_1) + \rho_1^2 \overline{\omega'(t_1)} \right] \left(C \left[\omega(t_1) - \overline{\omega}(t_1) \right]^2 + 4 \omega(t_1) \overline{\omega}(t_1) = \rho_1^2 \varphi'(t_1) - t_1^2 \varphi'(t_1).$$
(30)

Решим задачу об изгибе консоли круглого сечения с квадратным вырезом.

Воспользуемся функцией, отображающей внешность квадрата с закругленными углами на внешность единичного круга, приведенной в работе Неймана [4]

$$z = \omega(\zeta) = K\left(\zeta + \frac{1}{9}\zeta^{-3}\right), \qquad (31)$$

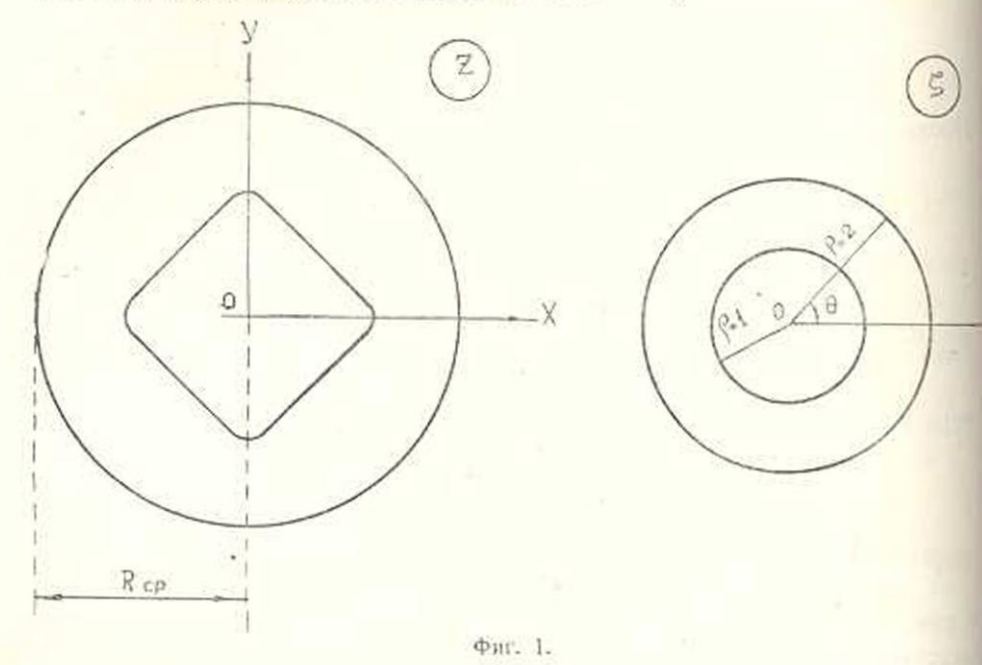
где К - постоянный параметр.

Функция эта преобразует окружности $\rho > 1$ на плоскости ζ в замкнутые кривые на плоскости z, которые, начиная c некоторого значения $\rho > 1$, весьма близки к окружности. Например, при $\rho_0 = 2$ (фиг. 1), $|z| = R_{\min} = 1,9861$ K, а $|z| = R_{\max} = 2,0139$ K, разница между R_{\max} и R_{\min} составляет $1,4^{\circ}/_{\circ}$. Чем больше будет величина ρ_{\circ} , тем меньше станет разница между R_{\max} и R_{\min} ; это значит, что всякая кривая на

плоскости z, соответствующая $\rho_0 > 2$, может быть принята за окружность.

Примем квадрат за внутренний контур сечения, а кривую, соответствующую $\rho_0 = 2$, за внешний контур.

Таким образом, (31) можно рассматривать как функцию, приближенно отображающую вышеуказанную двусвязную область на кольцо.



Перепишем (31), обозначив коэффициент при втором члене этого выражения буквой А

$$z = \omega(\zeta) = K(\zeta + A\zeta^{-3}). \tag{32}$$

Найдем производные (32) и (24)

$$\omega'(\zeta) = K(1 - 3A\zeta^{-1}), \tag{33}$$

$$\varphi'(\zeta) = \sum_{k=0}^{\infty} (k+1)a_{k+1}\zeta^{k} + \sum_{k=1}^{\infty} (-k+1)b_{-k+1}\zeta^{-k}.$$
 (34)

Введя (32), (33) и (34) в условие на внешнем контуре (29), где $\zeta = t_0$, после некоторых преобразований получим:

$$\begin{split} &-\frac{BK^3}{16\,\mathrm{i}}\,[\mathfrak{t}_0^2-3\mathrm{A}\mathfrak{t}_0^{-2}+\rho_0^2-3\mathrm{A}\rho_0^2\,\overline{\mathfrak{t}}_0^{-4}]\,[\mathrm{C}\mathfrak{t}_0^2+2\mathrm{A}\mathrm{C}\mathfrak{t}_0^{-2}+\mathrm{A}^2\mathrm{C}\mathfrak{t}_0^{-6}+\\ &+\mathrm{C}\overline{\mathfrak{t}}_0^{-2}+2\mathrm{A}\mathrm{C}\overline{\mathfrak{t}}_0^{-2}+\mathrm{A}^2\mathrm{C}\overline{\mathfrak{t}}_0^{-6}+(4-2\mathrm{C})\mathfrak{t}_0\overline{\mathfrak{t}}_0+(4-2\mathrm{C})\mathrm{A}\mathfrak{t}_0\overline{\mathfrak{t}}_0^{-3}+\\ &+(4-2\mathrm{C})\mathrm{A}\overline{\mathfrak{t}}_0\overline{\mathfrak{t}}_0^{-3}+(4-2\mathrm{C})\mathrm{A}^2\overline{\mathfrak{t}}_0^{-3}\,\overline{\mathfrak{t}}_0^{-3}=\\ &=\rho_0^2\bigg[\sum_{k=e}^{\infty}(k+1)\,\,\overline{a}_{k+1}\overline{\mathfrak{t}}_0^k+\sum_{k=1}^{\infty}(-k+1)\overline{b}_{-k+1}\overline{\mathfrak{t}}_0^{-k}-\end{split}$$

$$-t_0^2 \left[\sum_{k=0}^{\infty} (k+1) a_{k+1} t_0^k + \sum_{k=1}^{\infty} (-k+1) b_{-k+1} t_0^{-k} \right]. \quad (35)$$

Напомним, что в (35) $t_0 = \rho_0 e^{ik\theta}$, где ρ_0 — раднус внешней окружности кольца.

Сравнение коэффициентов при одинаковых степенях е в правой и левой частях (35) дает, при k=1,2...-1,-2..., следующую конечную систему уравнений:

$$\begin{split} \rho_0^2 \overline{a}_1 + b_1 &= [-AC + (4 - C)\rho_0^4 - 2(4 + C)\rho_0^{-4}A^2] \left(-\frac{BK^3}{16i} \right), \\ 3\overline{a}_3\rho_0^4 + 3b_3\rho_0^{-2} &= [-2(4 - 3C)A + C\rho_0^4 - 3(4 - C)A^3\rho_0^{-8}] \left(-\frac{BK^3}{16i} \right), \\ 5\overline{a}_3\rho_0^6 + 5b_5\rho_0^{-4} &= [(4 - 5C)A - 5A^2C\rho_0^{-4}] \left(-\frac{BK^3}{16i} \right), \\ 7\overline{a}_7\rho_0^8 + 7b_7\rho_0^{-6} &= (-12 + 7C)A^2\rho_0^{-4} \left(-\frac{BK^3}{16i} \right), \\ 9\overline{a}_3\rho_0^{10} + 9b_9\rho_0^{-8} &= (-3A^3C\rho_0^{-8}) \left(-\frac{BK^3}{16i} \right). \end{split}$$

Из условия (30) следует, что подобная система уравнений должна удовлетворяться и на внутреннем контуре при $\zeta = t_1 = \rho_1 e^{i\theta}$, где $\rho_1 = 1$. Подставив в (36) вместо ρ_0 величину $\rho_1 = 1$, получим новую систему уравнений, вытекающую из условия (30), а именю:

$$\bar{a}_{1} + b_{1} = [-AC + (4 - C) - 2(4 + C)A^{2}] \left(-\frac{BK^{3}}{16i}\right),$$

$$3\bar{a}_{3} + 3b_{3} = [-2(4 - 3C)A + C - 3(4 - C)A^{3}] \left(-\frac{BK^{3}}{16i}\right),$$

$$5\bar{a}_{5} + 5b_{5} = [(4 - 5C)A - 5A^{2}C) \left(-\frac{BK^{3}}{16i}\right),$$

$$7\bar{a}_{7} + 7b_{7} = (-12 + 7C)A^{2} \left(-\frac{BK^{3}}{16i}\right),$$

$$9\bar{a}_{9} + 9b_{9} = (-3A^{3}C) \left(-\frac{BK^{3}}{16i}\right).$$
(37)

Решая совместно (36) и (37), определим коэффициенты функций Ф(С) и Ф(С):

$$\begin{split} a_1 &= -\overline{a}_1 = \left[(4 - C)(\rho_0^2 + 1) + \frac{2(4 + C)A^2(1 - \rho_0^{-4})}{\rho_0^2 - 1} \right] \frac{BK^3}{16i}, \\ b_1 &= -\overline{b}_1 = \left[AC + (4 - C)\rho_0^2 + \frac{2(4 + C)A^2(\rho_0^2 - \rho_0^{-4})}{\rho_0^2 - 1} \right] \frac{BK^3}{16i}, \end{split}$$

$$a_{3} = -\overline{a}_{3} = \left[\frac{C}{3} - \frac{2(4 - 3C)A(\rho_{0}^{2} - 1) - 3(4 - C)A^{3}(1 - \rho_{0}^{-6})}{3(\rho_{0}^{6} - 1)}\right] \frac{BK^{3}}{16i},$$

$$b_{3} = -\overline{b}_{3} = \frac{2(4 - 3C)A(\rho_{0}^{6} - \rho_{0}^{2}) + 3(4 - C)A^{3}(\rho_{0}^{6} - \rho_{0}^{-6})}{3(\rho_{0}^{6} - 1)} \frac{BK^{3}}{16i},$$

$$a_{5} = -\overline{a}_{5} = \frac{(4 - 5C)A(\rho_{0}^{4} - 1)BK^{3}}{5(\rho_{0}^{10} - 1)} \frac{BK^{3}}{16i},$$

$$b_{5} = -\overline{b}_{5} = \left[A^{2}C - \frac{(4 - 5C)A\rho_{0}^{4}(\rho_{0}^{6} - 1)}{5(\rho_{0}^{10} - 1)}\right] \frac{BK^{3}}{16i},$$

$$a_{7} = -\overline{a}_{7} = \frac{(12 - 7C)A^{2}(1 - \rho_{0}^{2})BK^{3}}{7(\rho_{0}^{14} - 1)} \frac{BK^{3}}{16i},$$

$$b_{7} = -\overline{b}_{7} = \frac{(12 - 7C)A^{2}(\rho_{0}^{14} - \rho_{0}^{2})BK^{3}}{7(\rho_{0}^{14} - 1)} \frac{BK^{3}}{16i},$$

$$a_{9} = -\overline{a}_{9} = 0,$$

$$b_{9} = -\overline{b}_{9} = \frac{A^{3}C}{3}\frac{BK^{3}}{16i}.$$

Применим предлагаемое решение задачи к частным случаям.

а. Изгибающая сила направлена по диагонали квадрата.

p

Оси координат направим по диагоналям квадрата так, чтобы линия действия силы совпадала бы с осью ОХ (фиг. 2). В этом случае

кожффициент в (32) следует брать со зна-

ком плюс, т. е. $A = \frac{1}{9}$. Тогда отображающая функция (32) примет вид

$$z = \omega(\zeta) = K\left(\zeta + \frac{1}{9}\zeta^{-3}\right)$$
, (39)

где параметр К выражается через средний радиус внешнего контура сечения

$$R_{cp} = \frac{R_{max} + R_{min}}{2}$$
, тогда $K = 0.5$ R_{cp} .

Найдем производную функции (39)

$$\omega'(\zeta) = K\left(1 - \frac{1}{3}\zeta^{-1}\right).$$
 (40)

Примем коэффициент Пуассона равным 0,3, тогда из (7) получим

$$C = \frac{1+2\sigma}{1+\sigma} = 1,230679.$$

Подставив значения A и C в (38), вычислим коэффициенты разложения функции φ(ζ).

Следовательно, функция φ(ζ) и ее производная φ'(ζ) являются многочленами такого вида:

$$\varphi(\zeta) = a_0 = a_1 \zeta + a_3 \zeta^3 + a_5 \zeta^5 + a_7 \zeta^7 + b_1 \zeta^{-1} + b_3 \zeta^{-3} + b_5 \zeta^{-5} + b_7 \zeta^{-7} + b_8 \zeta^{-9},$$
 $\varphi'(\zeta) = a_1 + 3a_3 \zeta^3 + 5a_5 \zeta^4 + 7a_7 \zeta^6 - b_1 \zeta^{-2} - 3b_3 \zeta^{-4} - 5b_6 \zeta^{-6} - 7b_7 \zeta^{-8} - 9b_8 \zeta^{-10}.$ Перепишем выражение $\varphi'(\zeta)$, подставив туда найденные значения коэффициентов a_k и b_k .

$$\varphi'(\zeta) = \frac{BK^3}{16i} (13,886512 + 1,227693\zeta^2 - 3,592245 \cdot 2^{-10}\zeta^4 - 0,125356 \cdot 2^{-10}\zeta^6 - 11,383192\zeta^{-2} - 0,076695\zeta^{-4} - 0,311780\zeta^{-6} - 0,041846\zeta^{-8} - 0,005067\zeta^{-10}). \tag{41}$$

Формула (23) может быть преобразована к виду, удобному для вычисления напряжений, если учесть, что

$$\frac{\partial \Phi}{\partial z} = -\frac{CB}{16i}(z - \overline{z})^2 + \varphi'(z) = -\frac{CB}{4}iy^2 + \frac{\varphi'(\zeta)}{\omega'(\zeta)},$$

$$z\overline{z} = x^2 + y^2,$$

тогда из (23) получим

$$X_z - iY_z = \frac{GB}{2}y^2 + 2\frac{\varphi'(\zeta)}{\omega'(\zeta)}i - \frac{B}{2}(x^2 + y^2).$$
 (42)

Вычислим максимальное напряжение на внутреннем контуре, т. е. в точке, где p=1, $\theta=\frac{\pi}{2}$ (x=0, y=1,111111K).

В этой точке из (40) и (41) имеем: $\varphi'(\zeta) = 24,236809 \frac{\text{ВК}^3}{16i}$ и $\omega'(\zeta) = 0,6666666$ К. Подставив найденные значения $\varphi'(\zeta)$ и $\omega'(\zeta)$ в (42), получим:

$$X_z = 1,1734 \frac{p}{l} R_{cp}^2, Y_z = 0.$$

Тем же способом найдем максимальное напряжение на внешнем контуре, т. е. в точке $\rho=2$, $\theta=\frac{\pi}{2}$ (x = 0, y = 2.013889K).

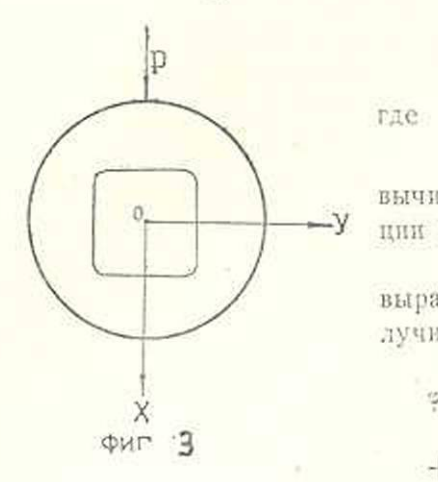
В этой точке $\phi'(\zeta) = 11,765815 \frac{\mathrm{BK}^3}{16\mathrm{i}}$, а $\omega'(\zeta) = 0,979167\mathrm{K}$. По формуде (42) получим

$$X_z = 0.4919 \frac{P}{I} R_{cp}^2 \text{ M} Y_z = 0.$$

При проверке напряжений в точке $\rho=2$, $\theta=\pi$ (x = 2,013889K, y = 0) по формуле (42) находим $X_z=0$, с точностью до шестого знака, и $Y_z=0$.

б. Изгибающая сила параллельна стороне квадрата.

Ось ОХ направим вдоль линин действия силы (фиг. 3). В этом случае $A=-\frac{1}{q}$ и (32) примет вид:



$$z = \omega(\zeta) = K \left(\zeta - \frac{1}{9} \zeta^{-3}\right),$$
 (43)
 $K = 0.5 R_{co}$,

Подставив величины А и С в (38), вычислим коэффициенты разложения функции «(С).

Вводя полученные значения a_k и b_k в выражение производной функции $\phi(\zeta)$, получим

$$\begin{split} \phi'(\zeta) &= \frac{8K^3}{16i} (13, 886512 + 1,233849\zeta^2 + \\ &+ 3,592245 \cdot 2^{-10\zeta^4} - 0,125356 \cdot 2^{-14\zeta^6} - \end{split}$$

$$-11,109688\zeta^{-2} + 0,076695\zeta^{-4} + 0,159830\zeta^{-6} -0,041846\zeta^{-8} + 0,005067\zeta^{-10}$$
. (44)

Найдем производную функции (43)

$$\omega'(\zeta) = K\left(1 + \frac{1}{3}\zeta^{-4}\right). \tag{45}$$

Определим максимальные напряжения на внешнем и внутреннем контурах по формуле (42).

На внутрением контуре в точке $\rho=1,\ \theta=\frac{\pi}{2}$ (x = 0, y = 0.888889K) имеем из (44) и (45): $\phi'(\zeta)=23.635811$ $\frac{BK^3}{16i}$. $\omega'(\zeta)=1.333333$ K. Вычисление напряжений по (42) даст:

$$X_z = 0.5768 \frac{P}{I} R_{cp}^2, \ Y_z = 0.$$

На внешнем контуре в точке $\rho=2$, $\theta=\frac{\pi}{2}$ (x = 0, y = 1,986111k) имеем из (44) и (45) $\phi'(\zeta)=11,787279\frac{\mathrm{BK}^3}{16i}$ и $\omega'(\zeta)=1,020833\mathrm{K}$. Напряжения в этой точке, вычисленные по (42), будут

$$X_z = 0,4746 \frac{P}{I} R_{cp}^2, Y_z = 0.$$

Проверим напряжения в точке $\rho = 2$, $\theta = \pi$ (x = 1,986111K, y=0).

где по (44) и (45) имеем: $\varphi'(\zeta)=16,107259~\frac{\mathrm{BK^3}}{16\mathrm{i}}~$ и $\omega'(\zeta)=1,020833\mathrm{K}.$ По формуле (42) найдем, что в этой точке $\mathrm{X_2}=0$ и $\mathrm{Y_3}=0.$

Ереванский политехнический институт им. К. Маркса Поступило 22 X1 1955 г

L. Կ. Կապանյան

ՈՐՈՇ ՍՆԱՄԵՋ ԿՈՆՍՈԼԱՅԻՆ ՁՈՂԵՐԻ ԾՌՄԱՆ ՄԱՍԻՆ

ILIFONDONEI

Սնամեջ կոնսոլային պրիզմատիկ ձողի ծոման իներիրը, ծայրում կիրասված ուժի ազդեցության դեպքում, կարելի է լուծել, եթե հայտնի է Հողի ընդլայնական կարվածքի երկկապ տիրույթի կոնֆորմ արտապատկերման ֆունկցիան օղակի վրա։

Աշխատության մեջ բերվում է դրսից շրջանագծով, իսկ ներսից թառակուսով սաճմանափակված երկկապ տիրույին օղակի վրա մոտավոր արտապատկերող ֆունկցիան, որի միջոցով լուծված է քառակուսի անցքունեցող կլոր կոնսոլային պրիզմատիկ ձողի ծոման խնդիրը։

ЛИТЕРАТУРА

- 1. Амензаде Ю. А. К вопросу изгиба полых призматич. стержней (Тр. Аз. НИИ нефти, вып. 1, Бакъ, 1954).
- 2. Лейбензон Л. С. Курс теории упругости, М.-Л., 1947.
- 3. Мускелишвили Н. И. Некоторые задачи теории упругости, М.-.Л., 1950.
- Нейман М. И. Напряжения в балке с криволинейным отверстием, Москва 1937.